

Effect of iron oxide nanoparticles functionalized with hyaluronic acid on CD44 gene expression and growth of Aspc-1 cell line of pancreatic cancer

Khosro Issazadeh¹, Seyedeh Motahareh Sadatfar², Alireza Habibi^{3*}

1. Assistant Professor, Department of Microbiology, Faculty of Basic Sciences, Islamic Azad University, Lahijan Branch, Lahijan, Iran

2. MSc student, Department of Molecular-Cell Biology, Islamic Azad University, Lahijan Branch. Lahijan, Iran

3. Assistant Professor, Department of Basic Sciences, Science Higher Education Center, Imam Hossein (AS) Officer Training and Guards University, Tehran, Iran

Abstract

Aim and Background: Pancreatic cancer is the third leading cause of cancer-related mortality. The utilization of hyaluronic acid in treatment is promising due to its targeted absorption and lack of adverse effects. The objective of this study was to examine the impact of iron oxide and hyaluronic nanoparticles on alterations in *CD44* gene expression within cancer cells.

Materials and Methods: Iron oxide nanoparticles were synthesized using the co-precipitation method and then functionalized with hyaluronic acid in this study. Various confirmatory tests, such as Scanning Electron Microscopy (SEM), Fourier Transform Infrared Spectroscopy (FTIR), Energy Dispersive X-Ray (EDX), Ultraviolet-Visible (UV-visible), and Zeta-potential, were conducted for characterization purposes. The viability of ASPC-1 and HEK-293 cells post-treatment with Fe₃O₄@HA was assessed using the MTT method. Additionally, the expression of the *CD44* gene in both treated and control cells was analyzed through the qRT-PCR technique.

Results: The Fe₃O₄@HA complex exhibited a more potent impact on ASPC-1 cells compared to Fe₃O₄ ($P < 0.05$), while its effect on normal cells was less pronounced ($P > 0.05$). The Selectivity Index (SI) for drug selection was determined to be 1.13. Analysis of qRT-PCR data revealed a 6% decrease in *CD44* expression in treated cells at the IC₅₀ concentration, although this difference was not statistically significant ($P > 0.05$).

Conclusion: In conclusion, the outcomes of this investigation demonstrate that Fe₃O₄@HA possesses effective anti-proliferative characteristics against pancreatic cancer cells and has the ability to lower *CD44* gene expression.

Keywords: Pancreatic Cancer, ASPC-1 cells, *CD44* gene, Fe₃O₄@HA nanoparticles.

*Corresponding Author:

Assistant Professor, Department of Basic Sciences, Science Higher Education Center, Imam Hossein (AS) Officer Training and Guards University, Tehran, Iran

Emails: alirh110@gmail.com

تأثیر نانوذرات اکسید آهن عامل دار شده با هیالورونیک اسید بر بیان ژن *CD44* و رشد رده سلولی *Aspc-1* سرطان لوزالمعده

مطهره سادات فر^۱، خسرو عیسی‌زاده^۲، علیرضا حبیبی^{۳*}

۱. گروه زیست‌شناسی- سلولی مولکولی، دانشگاه آزاد اسلامی، واحد لاهیجان، لاهیجان، ایران.
۲. گروه میکروبیولوژی، دانشکده علوم پایه، دانشگاه آزاد اسلامی، واحد لاهیجان، لاهیجان، ایران.
۳. گروه علوم پایه، مرکز آموزش عالی علوم، دانشگاه امام حسین (ع)، تهران، ایران.

چکیده

سابقه و هدف: سرطان لوزالمعده رتبه سوم مرگ‌ومیرهای ناشی از سرطان است. هیالورونیک اسید بهدلیل جذب اختصاصی و نداشتن عوارض جانبی در درمان می‌تواند مورد استفاده قرار گیرد. هدف از این پژوهش بررسی تأثیر نانوذرات اکسید آهن و هیالورونیک بر تغییرات بیان ژن *CD44* در سلول‌های سرطانی بود.

مواد و روش‌ها: در این پژوهش نانوذرات اکسید آهن به روش همروسوبی، سنتز و با هیالورونیک اسید سنتز عامل دار شدند. از تست‌های تأییدی میکروسکوپ الکترونی روبشی (SEM)، طیفسنجی فروسرخ تبدیل فوریه (FTIR)، طیفسنجی پراش انرژی پرتوی ایکس (EDX)، طیفسنجی فرابینفش مرئی (UV-visible) و آنالیز پتانسیل زتا (Zeta-potential) برای شناسایی استفاده شد. زنده‌مانی سلول‌های ASPC-1 و Human Embryonic Kidney 293 Cells (HEK-293) بعد از تیمار با *Fe₃O₄@HA* به روش MTT بررسی شد. همچنین بیان ژن *CD44* در سلول‌های تیمارشده و کنترل با تکنیک qRT-PCR تعیین شد.

یافته‌ها: کمپلکس *Fe₃O₄@HA* بر روی سلول‌های ASPC-1 تأثیر قوی‌تری نسبت به *Fe₃O₄* داشت ($p < 0.05$), در حالی که اثر آن بر روی سلول‌های سالم ضعیفتر بود ($p > 0.05$). ضریب انتخاب دارو برابر $1/13$ محاسبه شد. نتایج qRT-PCR نشان داد که بیان *CD44* در سلول‌های تیمارشده در غلظت IC₅₀ ≥ 6 درصد کمتر از سلول‌های گروه کنترل بود ($p > 0.05$).

نتیجه‌گیری: نتایج این پژوهش نشان داد که *Fe₃O₄@HA* اثرهای ضدتکثیری مناسبی مقابله سلول‌های سرطان لوزالمعده دارد و می‌تواند باعث کاهش بیان ژن *CD44* شود.

واژگان کلیدی: سرطان لوزالمعده، سلول‌های ASPC-1، *CD44*، نانوذرات *Fe₃O₄@HA*

نویسنده مسئول: گروه علوم پایه، مرکز آموزش عالی علوم،
دانشگاه افسری و تربیت پاسداری امام حسین (ع)، تهران، ایران

- پست الکترونیکی:

alirh110@gmail.com

تاریخ دریافت: ۱۴۰۲/۱۲/۰۷

تاریخ پذیرش: ۱۴۰۳/۰۹/۱۱

۱- مقدمه

سرگلیسین/سلولفاته است. CD44 در فرایندهای مانند چسبندگی سلولی، رگزایی، آزادسازی سایتوکین‌ها و ترمیم ماهیچه‌ها نقش دارد. شواهدی وجود دارد که نشان می‌دهند این پروتئین ممکن است نقش مهمی در ایجاد سرطان لوزالمعده داشته باشد. زن $CD44^{20}$ توسط ۲۰ اگزون کُذگاری می‌شود. ایزوفرم استاندارد (CD44s) از اگزون‌های ۱-۵ می‌شود. ایزوفرم متغیر (CD44v) متشكل از اگزون‌های ۱۶-۲۰ تشکیل شده است، بنابراین به آن فرم ثابت می‌گویند. ایزوفرم نوع متغیر (CD44v) میانی است که می‌توان آن‌ها را با $10\text{-}\alpha$ گزون موجود در CD44 بهم متصل و مونتاژ کرد (۶). ثابت شده است که جهش‌های از نوع حذف (Delete mutation) در 53^{rd} ممکن است با افزایش بیان $CD44^{10}$ همراه شده و افزایش رشد تومور را منجر شود. در برخی تحقیقات، افزایش بیان $CD44v$ و کاهش بیان $CD44s$ در سرطان لوزالمعده متاستاتیک گزارش شده است. احتمالاً نقش $CD44v$ در تهاجم بهدلیل تعامل آن با فاکتور رونویسی انکوژنیک c-Myc است. c-Myc مسیرهای MEK و ERK را فعال می‌کند و بهدلیل کاهش سیگنال دهی Fas، فعالیت ضدآپوپتوزی را افزایش می‌دهد. اتصال HA-CD44-Nanog-miR 21^{st} و Oct4 می‌شود. این تعامل باعث افزایش بیان $CD44v$ را شود. این سلسله اتفاقات از $CD44v$ را رشد و خودتجددشوندگی سلول‌های سرطانی دارای سبب می‌شود (۷). در پژوهش‌های مختلف، از هیالورونیک اسید (HA) به عنوان یک ترکیب شیمیایی مؤثر در هدف قراردادن سلول‌های توموری اشاره شده است. این ماده بهدلیل زیست‌سازگاری، تجزیه‌پذیری زیستی و خواص اتصال به گیرنده، به طور گسترده به عنوان حامل دارویی نیز مورد توجه قرار گرفته است. HA یک پلی‌ساقارید پلی‌آئینونی طبیعی است که به فراوانی در ماتریکس خارج‌سلولی و مایع سینووبیال یافت می‌شود و به صورت یک پلیمر خطی است که از واحد دی‌ساقارید تکرارشونده D-گلوکورونیک اسید و N-استیل-D-گلوكزامین تشکیل شده است. $CD44^{10}$ کی از گیرندهای اولیه است که از طریق برهم‌کنش با مولکول‌های HA مانند تکثیر، تمایز و مهاجرت به طور مستقیم در رویدادهای سلولی متنوع درگیر است. $CD44^{10}$ نقش مهمی در فرایندهای متاستاز و تکثیر دارد. ثابت شده است که نانوذرات میتنی بر HA (HANPs) با قطر $100\text{ }\mu\text{m}$ تا $300\text{ }\mu\text{m}$ می‌توانند از طریق افزایش نفوذ پذیری

¹⁰ SRY-Box Transcription Factor 2¹¹ MicroRNA-302

از بیماران مبتلا به سرطان لوزالمعده بین ۸۰-۸۵ درصد بعد از مرحله متاستاز به مراکز درمانی مراجعه می‌کنند. در بیماران با امکان جراحی نیز، پیش‌آگهی ضعیفی از زنده‌ماندن متصور است و تنها ۲۰ درصد از آن‌ها پس از جراحی، حداقل به مدت ۵ سال زنده می‌مانند (۱). سرطان لوزالمعده در ایالات متحده، بعد از سرطان اروپا بزرودی از سرطان پستان در سومین جایگاه کُشنده‌ی قرار دارد (۲). پیش‌بینی می‌شود کُشنده‌ی این تومور در سراسر اروپا بزرودی از سرطان پستان پیشی گیرد (۳). خوشبختانه، علی‌رغم سرعت بالای مرگ و میر ناشی از این بدخیمی در جهان، در ایران سرطان لوزالمعده دوازدهمین سرطان منجر به مرگ است و روند مرگ و میر آن در دهه اخیر اندکی کاهش یافته است (۴). از دیدگاه مولکولی، نئوپلازی‌های درون‌اپیتلیالی سرطان‌های درجه ۱ و ۲ لوزالمعده ناشی از جهش‌های نقطه‌ای انکوژن KRAS¹ بوده که به‌ویژه در کدون ۱۲، با سیگنال دهی پایین‌دستی مسیرهای RAS و PI3K-AKT² مشخص می‌شوند. کوتاه شدن تلومر یک ویژگی مشخص نئوپلازی درون‌اپیتلیالی سرطان لوزالمعده درجه ۱ است که احتمالاً سلول‌ها را از طریق بی‌ثباتی کروموزومی مستعد بروز جهش می‌کند. در سرطان لوزالمعده درجه دو ایجاد بدخیمی به غیرفعال شدن دو مهارکننده کیناز وابسته به سایکلین شامل CDKN2A³ و پروتئین محصول آن (p16)⁴ و CDKN1A⁵ و پروتئین آن (p21)⁶ مرتبط هست. نشانه‌های نئوپلازی‌های درون‌اپیتلیالی لوزالمعده درجه ۳ و ۴ به‌علت جهش در زن سرکوبگر تومور TP53⁷ گزارش شده است (۵). مارکرهای مختلفی شناسایی شده‌اند که ارتباط مستقیمی با شیوع سلول‌های بنیادی سرطان لوزالمعده دارد. برخی از این مارکرهای شامل DCLK1⁸, CD24⁹, CD133¹⁰, CXCR4¹¹, ABCB1¹², ESA¹³, Oct4¹⁴ و CD44¹⁵ هستند. مارکر یک گیرنده غشایی برای اسید هیالورونیک (HA)، استغوپونتین، کندروپیتین، کلارن، فیبرونکتین و پروتئوگلیکان

¹ Kristen Rat Sarcoma Viral Oncogene Homolog² Phosphoinositide 3-Kinase/Protein Kinase B-Acutely Transforming Retrovirus³ Cyclin-Dependent Kinase Inhibitor 2A⁴ Cluster Of Differentiation 24⁵ Doublecortin-Like Kinase 1⁶ Chemokine Receptor Type 4⁷ Erythropoiesis-Stimulating Agent⁸ Octamer-Binding Transcription Factor 4⁹ ATP-Binding Cassette Subfamily B Member 1

روش اسپکتروفوتومتری به ترتیب از دستگاه‌های ریل‌تایم مدل qPCR Mic و نانودرایپ مدل NDNM96 استفاده شد.

۲-۲- سنتز و عامل‌دار کردن نانوذرات اکسید آهن
 نانوذرات اکسید آهن (Fe_3O_4) از طریق فرایند هم‌رسوبی نمک‌های کلرید (III) Fe (II) و (III) با هیدروکسید آمونیوم که در پژوهش Li و همکاران گزارش شده سنتز شد ($\text{FeCl}_3 \cdot 6\text{H}_2\text{O}$). برای این منظور $11/60$ گرم (۱۱/۶۰) $\text{FeCl}_3 \cdot 6\text{H}_2\text{O}$ در $4/30$ گرم در 400 میلی‌لیتر آب دیونیزه و تحت حفاظت گاز نیتروژن و همزدن در دمای 85°C رفلaks شدند. پس از آن، حدود 20 میلی‌لیتر محلول هیدروکسید آمونیوم به مخلوط اضافه شد و همزدن تا تشکیل رسوب سیاه ادامه یافت (سه ساعت). سپس رسوب دو بار با اتانول و چندین بار با آب مقطر شسته شد تا pH خنثی به دست آید. مخلوط به مدت 30 دقیقه در دمای 80°C تحت گاز نیتروژن رفلaks شد. نانوذرات مغناطیسی به روش مغناطیسی طی سه بار شستشو با آب دیونیزه و الكل از حلّ جدا شدند. رسوب به دست آمده به مدت 24 ساعت در آون با دمای 40°C قرار گرفت تا کاملاً خشک شد.

برای عامل‌دار کردن نانوذرات اکسید آهن با هیالورونیک اسید از روش هم‌رسوبی کنترل شده برابر گزارش Xang (با کمی تغییر) استفاده شد (۱۲). به طور خلاصه $0/16$ گرم هیالورونیک اسید در 30 میلی‌لیتر آب دو بار دیونیزه حل شد و به مدت نیم ساعت در دمای 80°C استیر شد تا یک محلول یکنواخت به دست آید. از طرف دیگر 2 گرم $\text{FeCl}_3 \cdot 6\text{H}_2\text{O}$ و 736 گرم $\text{FeCl}_2 \cdot 4\text{H}_2\text{O}$ در 100 میلی‌لیتر آب دو بار تقطیر داخل یک بالن سده‌هنه تحت گاز ازت (برای حذف O_2) به مدت یک ساعت با سرعت 12000 دور در دقیقه استیر شد. سپس 30 میلی‌لیتر NH_4OH به محلول یکنواخت هیالورونیک اسید اضافه شد و این محلول به مخلوط کلرید آهن‌های II و III اضافه شد و به مدت سه ساعت با شرایط بالا، استیر و رفلaks شد. رسوب سیاه رنگ به صورت مغناطیسی جدا شده و سه بار با آب مقطر شستشو شد. محلول به دست آمده برای حذف یون‌های آزاد و HA به مدت 2 روز در برابر آب مقطر با استفاده از کیسه دیالیز سایز 12 دیالیز شد. مخلوط غلیظ نیمه‌جامد در دمای 4°C نگهداری شد. تست‌های FTIR و ZETA visible UV

EDX و SEM برای تأیید محصول انجام شد.

و ماندگار EPR^۱ به بافت‌های تومور برسند و به دنبال آن از طریق اندوسیتوز با واسطه گیرنده به داخل سلول‌های توموری وارد شوند (۸). امروزه استفاده از نانوذرات مختلف برای مبارزه با سرطان‌ها مورد توجه قرار گرفته است. از جمله این نانوذرات که به صورت اختصاصی در انتقال دارو و زن، تصویربرداری زیست‌پژشکی و ایجاد هایپرترمی (کنترل تومور از طریق حرارت) در مقابل سلول‌های سرطانی مورد استفاده قرار گرفته، نانوذرات اکسید آهن مغناطیسی (Fe_3O_4 NPs) است (۹). در برخی پژوهش‌ها عامل‌دار کردن نانوذرات اکسید آهن با هیالورونیک اسید منجر به مهار رشد سلول‌های سرطانی شده است (۱۰). در این پژوهش تأثیر نانوذرات اکسید آهن عامل‌دار شده با هیالورونیک اسید، بر بیان زن $CD44$ و مهار رشد رده سلولی Aspc-1 سرطان لوزالمعده مطالعه شده است.

۲- مواد و روش‌ها

۲-۱- مواد و تجهیزات

مواد مصرفی برای سنتز نانوذرات اکسید آهن شامل $\text{FeCl}_3 \cdot 6\text{H}_2\text{O}$ (Merck) $\text{FeCl}_2 \cdot 4\text{H}_2\text{O}$ (Merck) NH_4OH (Sigma Aldrich ۲۵%) و هیالورونیک اسید (Sigma Aldrich 1000 KDa/Sigma Aldrich) بود که از شرکت درمان کاو رشت خریداری شد. رده سلولی Aspc-1 سرطان لوزالمعده و سلول‌های نرمال HEK از مرکز ذخایر ژنتیکی ایران تهیه شد. محیط کشت اختصاصی RPMI-1640 (Sigma Aldrich) DMSO (Merck) DMEM (Sigma Aldrich) و کیت استخراج RNA از شرکت کیاژن خریداری شد.

برای انجام تست‌های تأییدی از دستگاه‌های آنالیز اسپکتروسکوپی FTIR (Thermo/USA)، میکروسکوپ الکترونی رو بشی (AVATAR SEM: TESCAN/MIRAI III) ساخت جمهوری چک، (TESCAN/MIRAI II) FESEM Beckman DU640 UV/Vis Spectrophotometer چک، پتانسیل (Horiba/SZ100) ساخت کشور چین و زتا موجود در آزمایشگاه بیم گسترش تابان استفاده شد. برای به دست آوردن جذب نوری در تست MTT از دستگاه الیزا-ریدر مدل MR4+ ساخت آلمان استفاده شد. برای انجام PCR و تعیین کیفیت و کمیت آن با

^۱ Enhanced Permeability and Retention

با مواد مورد استفاده، RNA کل براساس پروتکل کیت استخراج RNA شرکت کیاژن استخراج گردید. پس از استخراج RNA، کیفیت و کمیت آن با روش اسپکتروفوتومتری و الکتروفورز ژل آگارز بررسی شد. سپس از روی RNA استخراج شده، cDNA تولید شد (با استفاده از آنزیم ریورس ترانس کریپتاز و پرایمر الگو). برای سنجش میزان بیان‌ژن‌ها، واکنش Real-Time PCR Quantitative انجام گرفت. مقادیر در حجم ۲۰ میکرولیتر و شامل ۵ میکرولیتر آب دیونیزه، ۱۰ میکرولیتر Taq Man Universal Master Mix یک میکرولیتر پرایمر ژن مربوطه و ۴ میکرو لیتر cDNA بود. سطح بیان‌ژن GAPDH به عنوان ژن رفرانس استفاده شد. همچنین از پرایمرهای زیر به ترتیب برای ژن GAPDH و CD44 استفاده شد:

Forward Primer:

3'-TGCCGCTTGCAGGTGTATT-5'

Reverse Primer:

3'-CCGATGCTCAGAGCTTCTCC-5'

Forward Primer:

3'-CATGAGAAGTATGACAACAGCCT-5'

Reverse Primer:

3'-AGTCCTTCCACGATAACCAAAGT-5'

تجزیه و تحلیل داده‌ها در نرم‌افزار GraphPad Prism ۵ و با آزمون ANOVA به صورت $\text{Mean} \pm \text{SEM}$ در سه تکرار انجام شد و مقدار معنی‌داری با $p < 0.05$ خطا پذیرفته و تحلیل شد.

۳- نتایج

۱-۳- شناسایی نانوذرات مغناطیسی

شمای کلی سنتز و عامل‌دار کردن Fe_3O_4 با هیالورونیک اسید در شکل ۱ نشان داده شده است. ترکیب سنتز شده به صورت محلول با غلظت بالا و به رنگ قهوه‌ای سوخته متمایل به سیاه بود. تست‌های تأییدی انجام شده نشان داد که روند سنتز به طور صحیح انجام شده است. ماده نهایی به صورت $\text{Fe}_3\text{O}_4@\text{HA}$ که بیانگر ترکیب نانوذرات اکسید آهن با هیالورونیک اسید بود نام‌گذاری شد.

۳-۲- کشت سلولی

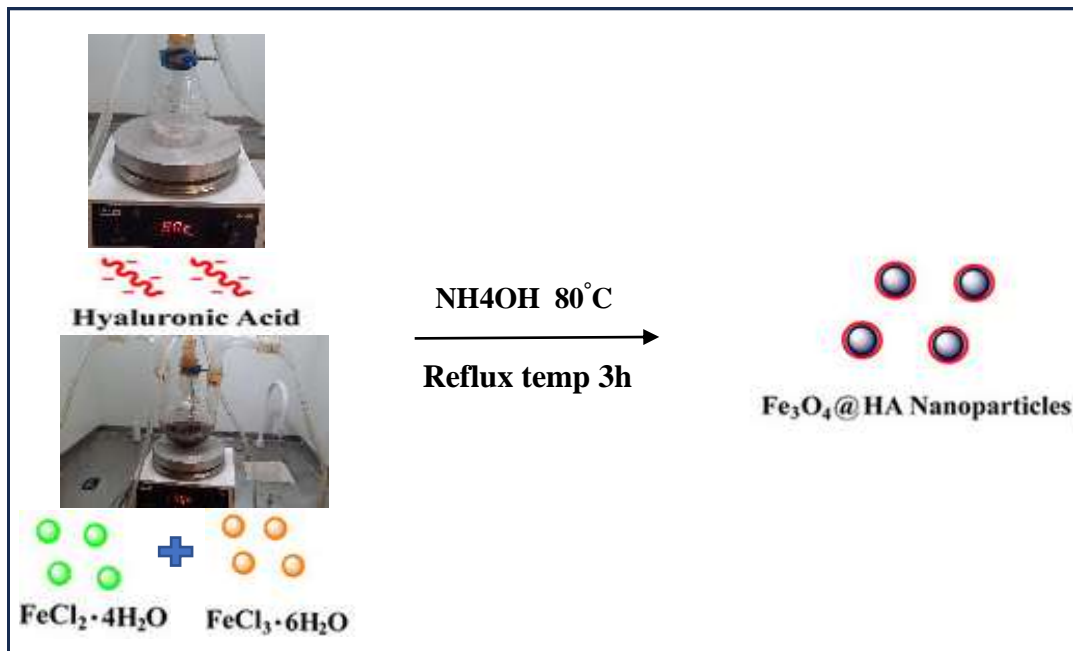
کشت سلول‌های Asp-1 و سلول‌های نرمال (HEK-293) که از مرکز ذخایر ژنتیکی ایران خریداری شدند، به روش حاجی قاسمی و همکاران انجام شد (۱۳). ابتدا محلول RPMI-1640 به محیط DMSO اضافه شد و تا زمان استفاده در دمای ۳۷°C نگهداری شد. در ادامه سلول‌های سلطانی و نرمال در محیط RPMI-1640 حاوی ۱۰ درصد سرم جنین (FBS)، ۱۰۰ میکروگرم بر میلی‌لیتر پنی‌سیلین و ۱۰۰ گاوا (FBS)، ۱۰۰ میکروگرم بر میلی‌لیتر استرپتومایسین در دمای ۳۷°C و پنج درصد CO_2 کشت داده شدند. سلول‌های نرمال با تراکم ۳×۱۰۴ و سلول‌های سلطانی با تراکم ۳×۱۰۳ در هر چاهک از پلیت ۹۶ خانه‌ای کاشته شدند و سپس با غلظت‌های مختلف (DMSO ۰/۱، ۰/۵، ۰/۲، ۱، ۲ و ۵ درصد) به مدت ۲۴ و ۴۸ ساعت انکوبه شدند. همچنین تمام آزمایش‌ها در سه تکرار انجام شدند.

۴-۲- تست زنده‌مانی سلول‌ها (MTT)

برای انجام این تست به روش Tullii و همکاران (۱۴) پس از انکوباسیون محیط کشت حاوی سلول‌ها، ابتدا محیط اولیه با ۱۰۰ میکروگرم محیط تازه جایگزین شد. برای به دست آوردن رنج غلظتی تأثیر دارو از غلظت‌های (۱۵۰۰، ۱۰۰۰، ۵۰۰، ۲۵۰ و ۱۲۵) میکروگرم بر میلی‌لیتر $\text{Fe}_3\text{O}_4@\text{HA}$ و Fe_3O_4 بر روی سلول‌ها استفاده شد. سلول‌ها مجدداً به مدت ۲۴ ساعت انکوباسیون شده و سپس با محلول PBS شسته شدند. سپس ۲۰ میکرولیتر، محلول MTT به هر چاهک اضافه شد و به مدت ۵ ساعت در دمای ۳۷°C انکوبه شد. OD نمونه‌ها در ۵۹۰ نانومتر قرائت گردید و در نهایت IC_{50} و CC_{50} با استفاده از نرم‌افزار GraphPad Prism V5 نشان داد که روند سنتز به طور صحیح انجام شده است. ماده زنده‌مانی سلول‌ها بر اساس تولید کریستال‌های آبی رنگ فورمازان تحلیل شد.

۴-۵- انجام Quantitative Reverse-Transcriptase PCR (qRT-PCR)

در این تست، به روش Lin تغییرهای بیان‌ژن CD44 در رده سلولی Aspc-1 (4×10^3 سلول) بعد از تیمار با $\text{Fe}_3\text{O}_4@\text{HA}$ (در سه تکرار ۰/۹۵، ۰/۷ و ۱/۰۸ میکروگرم) مورد بررسی قرار گرفت (۱۵). پس از تیمار سلول‌های Aspc-1

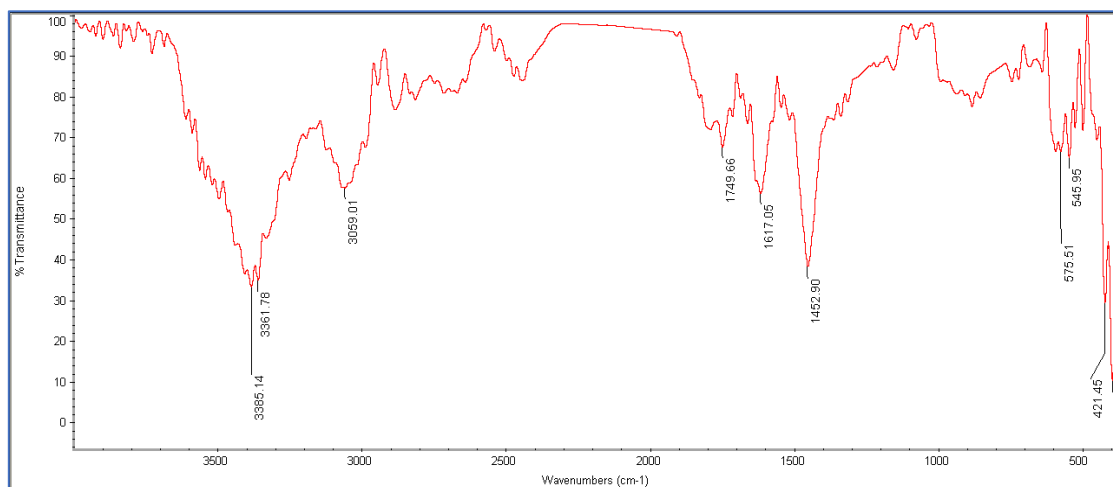


شکل ۱- شمای کلی مراحل سنتز و عامل دار کردن نانوذرات Fe_3O_4 با هیالورونیک اسید

اسید فوق است. همچنین پیک ۱۷۴۹، دلالت بر ارتعاش گروه آن‌هیدریدی $\text{C}=\text{O}$ بر روی هیالورونیک اسید است. پیک ۱۶۱۷ ارتعاش باند اشباع‌نشده C-C را در این ماده تأیید می‌کند. پیک ۱۴۵۲ مربوط به گروه آلکانی $\text{C}=\text{H}$ در اسید هیالورونیک اسید است. دو پیک ۴۲۱ و ۵۷۵ نیز بیانگر باند O-Fe-O در نانوذرات Fe_3O_4 هستند.

۲-۳- آنالیز داده‌های FTIR برای $\text{Fe}_3\text{O}_4@\text{HA}$

در شکل ۲ نتایج تست FTIR برای $\text{Fe}_3\text{O}_4@\text{HA}$ نشان داده شده است. آنالیز اسپکتروسکوپی FTIR در دامنه $4000-400 \text{ cm}^{-1}$ تعیین شد. پیک‌های ۳۳۶۱ و ۳۳۸۵ دلالت بر ارتعاش متقارن N-H اولیه و مربوط به گروه NH_2 بر روی هیالورونیک اسید است. پیک‌های ۳۰۵۹ بیانگر وجود باندهای N-H ثانویه بر روی

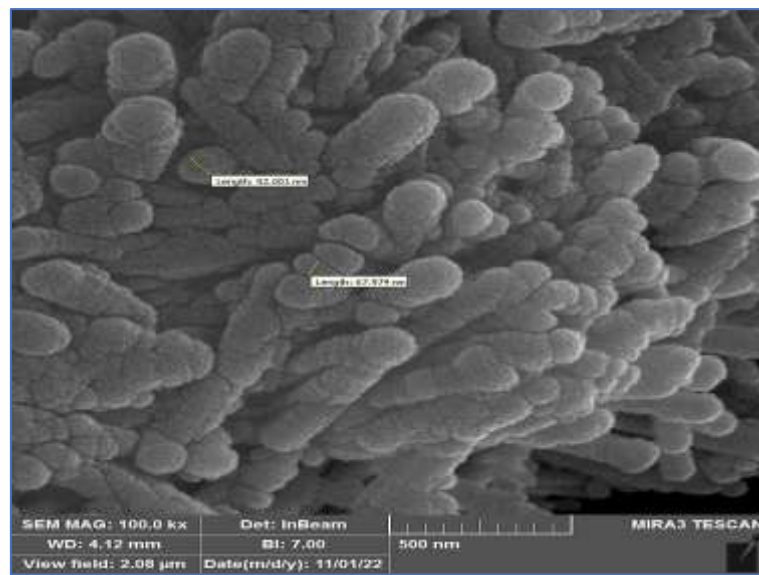


شکل ۲- نتایج تست FTIR برای $\text{Fe}_3\text{O}_4@\text{HA}$

بودن این نانوذره را تأیید نمود (شکل ۳). برطبق نتایج اندازه نانوذرات سنتزشده یکنواخت بودند و به طور میانگین در حدود ۹۲-۶۷ نانومتر اندازه‌گیری شدند.

۴-۳- آنالیز SEM

مورفولوژی نانوذرات عامل دار شده با هیالورونیک اسید، توسط میکروسکوپ الکترونی روشنی تعیین شد. تصاویر SEM از نانوذرات سنتزشده $\text{Fe}_3\text{O}_4@\text{HA}$ کروی



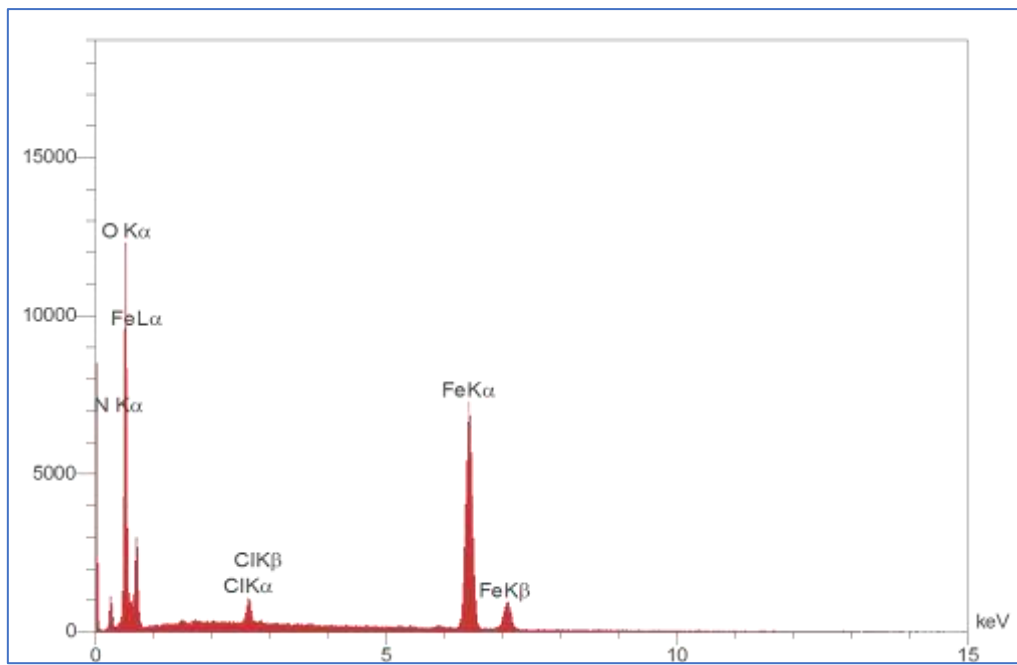
شکل ۳- تصویر SEM مربوط به نانوذرات سنتز شده $\text{Fe}_3\text{O}_4@\text{HA}$

Cl هم که خیلی کوتاه است، بیانگر حداقل ناخالصی در نمونه سنتز شده است. چون برای سنتز از کلرید آهن II و III استفاده شده و بیشتر کلر اضافی صرف سنتز شده و یا طی رفلکس از محیط خارج شده است.

EDX-۵-۳

آنالیز EDX در شکل ۴ نشان داده شده است. با توجه به اینکه در فرمولاسیون هیالورونیک اسید $(\text{C}_{14}\text{H}_{21}\text{NO}_{11})_n$ و Fe_3O_4 عناصر آهن، اکسیژن و نیتروژن وجود دارند، صحّت سنتز با خلوص قابل قبول تأیید شد. پیک

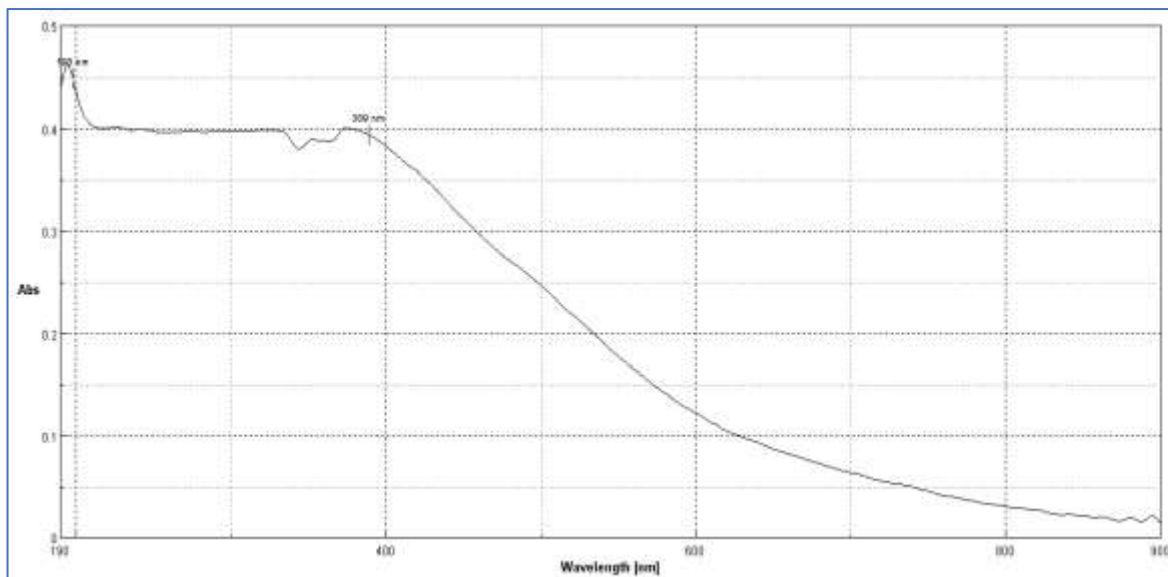
۷۹



شکل ۴- آنالیز EDX نانوذارت $\text{Fe}_3\text{O}_4@\text{Glu}/\text{BTSC}$

UV-Visible-۳

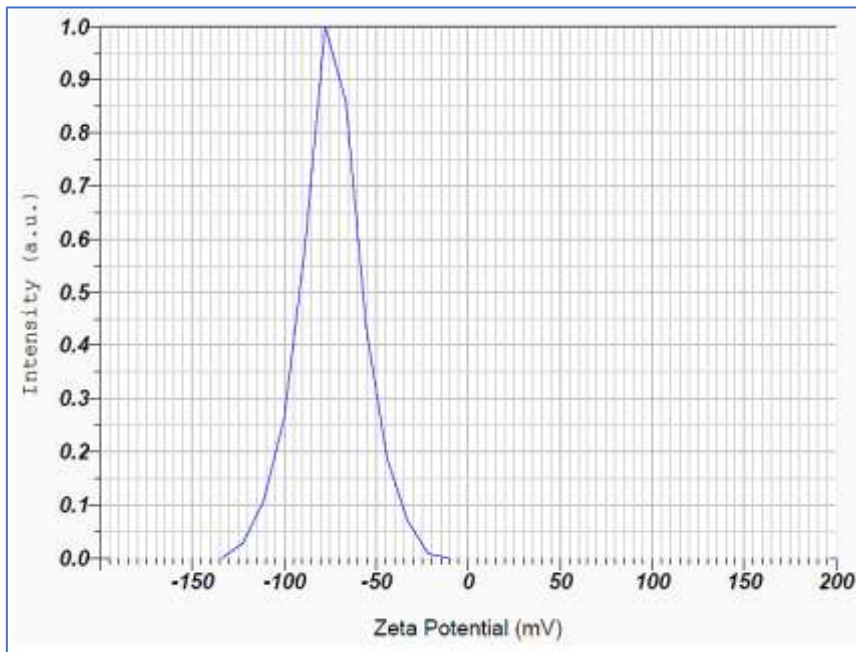
شکل ۵ آنالیز UV-Visible نانوذرات سنتز شده $\text{Fe}_3\text{O}_4@\text{HA}$ را نشان می‌دهد. طیف جذبی نوری نانوذرات اکسید آهن در ۳۸۹ نانومتر مشاهده شد.



شکل ۵- آنالیز UV-Visible نانوذرات سنتز شده $\text{Fe}_3\text{O}_4@\text{HA}$

۷-۳- تست پتانسیل Zeta

نتایج آنالیز پتانسیل زتا در آب دیونیزه برای نانوذرات Fe_3O_4 با پوشش هیالورونیک اسید برابر -74.3 mV بود (شکل ۶).

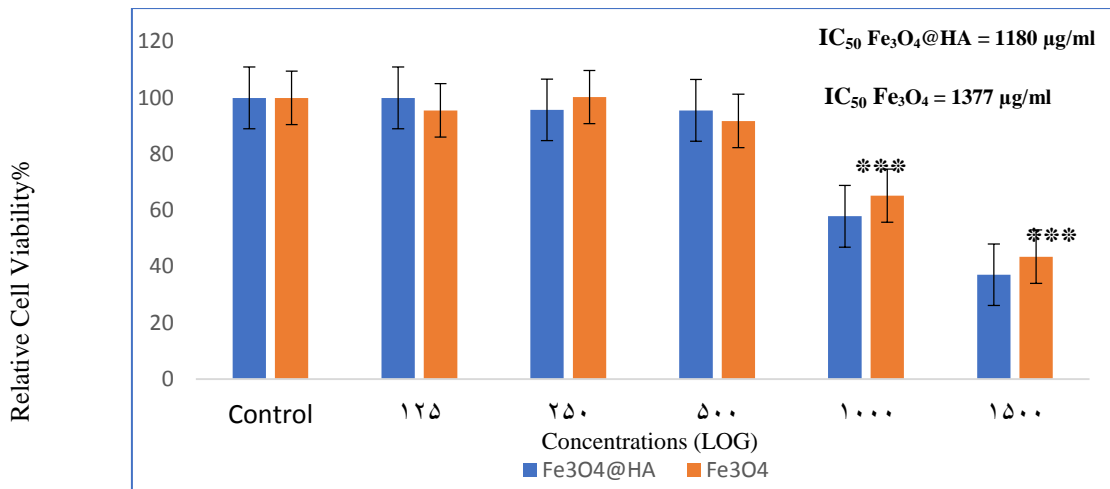


شکل ۶- تست پتانسیل زتا نانوذرات $\text{Fe}_3\text{O}_4@\text{HA}$

ماده بر روی سلول‌های ASP-1، در $1500 \text{ }\mu\text{g/mL}$ ماده بر روی سلول‌های ASP-1 مشاهده شد. غلظت تأثیرگذار بعدی $1000 \text{ }\mu\text{g/mL}$ بود. میزان IC_{50} برای Fe_3O_4 و $\text{Fe}_3\text{O}_4@\text{HA}$ به ترتیب برابر ۱۱۸۰ و ۱۳۷۷ میکروگرم بر میلی‌لیتر بود. خروجی تست ANOVA برای نتایج تست MTT بین دو گروه کنترل و تیمارشده $\text{Fe}_3\text{O}_4@\text{HA}$ معنی‌دار بود ($p < 0.05$).

۸-۳- نتایج زنده‌مانی سلول (MTT)

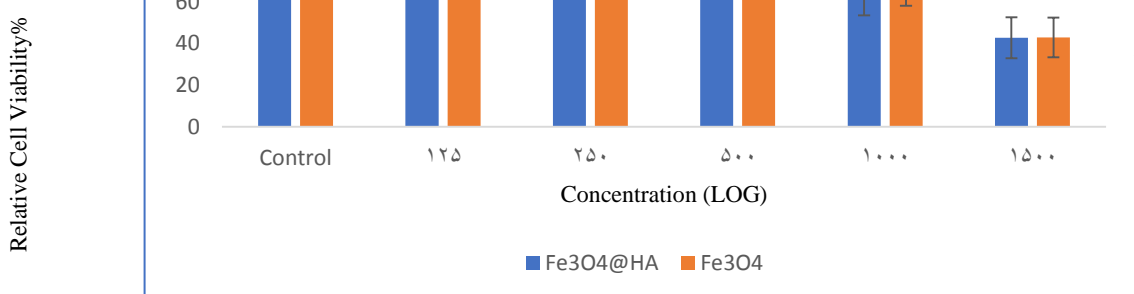
با استفاده از تست MTT، سمیت و زنده‌مانی سلول‌های ASP-1 و سلول‌های نرمال (HEK-293) سنتز شده با نانوذرات Fe_3O_4 و $\text{Fe}_3\text{O}_4@\text{HA}$ بررسی شد (شکل ۷ و ۸). همچنین مقادیر IC_{50} و CC_{50} سلول‌های سرطانی و نرمال نیز محاسبه شد. اولین غلظت مؤثر هر دو



شکل ۷- نتایج تست MTT، تأثیر Fe_3O_4 و $\text{Fe}_3\text{O}_4@\text{HA}$ روی زنده‌مانی رده سلولی Asp-1 (** بیانگر غلظت مؤثر دارو بر رده سلولی است).

بر میلی‌لیتر برای این ماده، کاهش سمیت آن را بر روی سلول‌های نرمال نسبت به سلول‌های سرطانی تأیید نمود. میزان CC_{50} نانوذرات Fe_3O_4 بر روی این سلول‌ها ۱۳۸۶ میکروگرم بر میلی‌لیتر بود.

رشد و زنده‌مانی سلول‌های HEK-293 نسبت به سلول‌های سرطانی، بعد از تیمار با $\text{Fe}_3\text{O}_4@\text{HA}$ بیشتر بود (شکل ۸)، بهطوری‌که غلظت بالاتری از $\text{Fe}_3\text{O}_4@\text{HA}$ برای مهار رشد این سلول‌ها نیاز بود. CC_{50} برابر ۱۳۴۴ میکروگرم



شکل (۸) نتایج تست MTT، تأثیر Fe_3O_4 و $\text{Fe}_3\text{O}_4@\text{HA}$ روی زنده‌مانی رده سلولی HEK-293 (** بیانگر غلظت مؤثر دارو بر رده سلولی است).

برای این رده سلولی بین دو گروه تیمارشده و کنترل معنی‌دار نبود ($p > 0.05$).

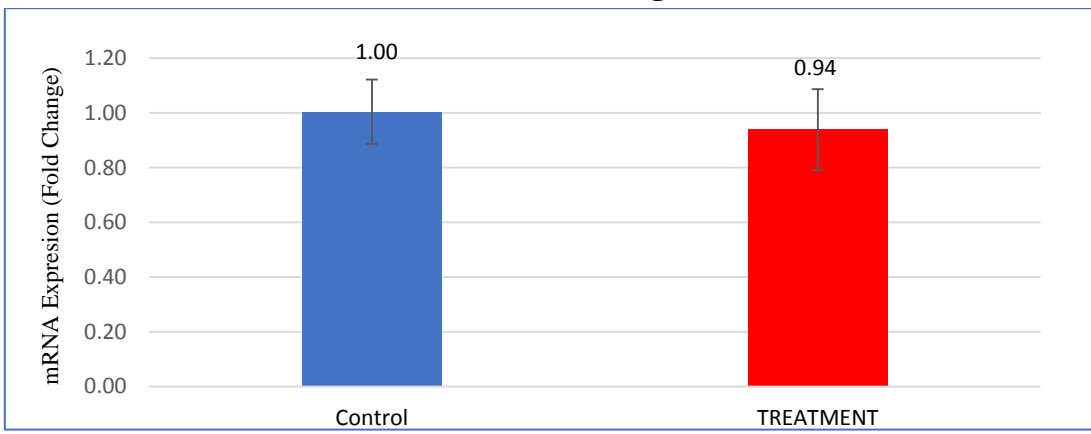
در این پژوهش از تقسیم عدد CC_{50} بر میزان IC_{50} شاخص انتخاب (SI¹) برای $\text{Fe}_3\text{O}_4@\text{HA}$ بدست آمد. شاخص انتخاب بزرگتر از یک نشان‌دهنده مؤثر بودن داروی موردنظر است (۱۵). شاخص انتخاب $\text{Fe}_3\text{O}_4@\text{HA}$ برابر با $\frac{1344}{1180} = 1.13$ بود. بنابراین غلظت سمی دارو در سلول‌های سالم نسبت به سلول‌های سرطانی حدود ۱/۱۳ است. نتایج تست ANOVA

¹ Selectivity Index

۳-۶- نتایج qRT-PCR

ساعت در مقایسه با گروه کنترل (سلول‌های تیمارنشده)، ۶ درصد کمتر بود، اگرچه نتایج آزمون ANOVA بین گروه تیمار و کنترل معنی‌دار نبود (شکل ۹).

نتایج تست qRT-PCR درخصوص نانوذرات مغناطیسی $\text{Fe}_3\text{O}_4@\text{HA}$ ، کاهش بیان ژن $CD44$ را نسبت به گروه کنترل تأیید نمود به طوری‌که بیان این ژن در سلول‌های تیمارشده با نانوذرات $\text{Fe}_3\text{O}_4@\text{HA}$ طی ۲۴ ساعت در مقایسه با گروه کنترل.



شکل ۹- مقایسه بیان ژن $CD44$ در سلول‌های Asp-1 تیمارشده با نانوذرات $\text{Fe}_3\text{O}_4@\text{HA}$ طی ۲۴ ساعت در مقایسه با گروه کنترل.

روی هیالورونیک اسید دارد. پیک ۱۶۱۷ ارتعاش باند اشباع‌نشده C-C را در این ماده تأیید می‌کند. پیک ۱۴۵۲ مربوط به گروه آلكانی C=H در اسید هیالورونیک اسید است. دو پیک ۴۲۱ و ۵۷۵ بیانگر باند Fe-O در نانوذرات Fe_3O_4 است.

تومور مانند $CD44$ ، جذب اختصاصی توسط سلول‌های توموری و نداشتن عوارض جانبی خارج از سلول هدف، بک الگوی جدید مؤثر برای درمان سرطان‌ها به شمار می‌روند (۲۰). همچنین مطالعه‌های خوبی اما محدودی در مورد اثر کمپلکس‌های فلزی هیالورونیک اسید بر سلول‌های سرطانی انجام شده است. LuO و همکارانش نشان دادند که نانوذرات HA- Fe_3O_4 از طریق یک مسیر هدف‌گیری با واسطه HA توسط سلول‌های سرطان لوزالمعده جذب می‌شوند (۲۱). در مطالعه‌ای دیگر که توسط سلیمانی و همکارانش انجام شد، برخی از ویژگی‌ها مانند پایداری کلوئیدی مناسب، زیست‌سازگاری، کارایی حرارتی بالا و هدف قرار دادن سلول‌های سرطانی با بیان بیش از حد گیرنده $CD44$ ، از نانوذرات $\text{Fe}_3\text{O}_4@\text{HA}$ ، یک پلتفرم (زیرساخت) چندمنظوره و امیدوارکننده برای تشخیص و کاربردهای درمانی سرطان لوزالمعده معرفی نموده است (۲۲). افزایش بیان ژن $CD44$ در سرطان لوزالمعده توسط پژوهشگران مختلفی گزارش شده است. در این پژوهش دو هدف اصلی وجود داشت:

پیک‌های ۳۳۶۱ و ۳۳۸۵ دلالت بر ارتعاش متقارن N-H اولیه مربوط به گروه NH_2 بر روی هیالورونیک اسید دارد. پیک‌های ۳۰۵۹ بیانگر وجود باندهای N-H ثانویه بر روی اسید فوق است. همچنین پیک ۱۷۴۹، دلالت بر ارتعاش گروه آن‌هیدریدی C=O بر

۴- بحث

مشکلات غیرمعمول در درمان سرطان لوزالمعده مانند دیگر بدخیمی‌ها، زمان طولانی از تحقیقات را به خود اختصاص داده است (۱۶). در سالیان اخیر از بین پروتکلهای درمانی متعدد در درمان سرطان‌ها به دو روش جراحی و شیمی‌درمانی توجه ویژه شده است (۱۷). این در حالی است که سلول‌های سرطانی با روش‌های مختلف مانند فرار از سیستم ایمنی، مرگ برنامه‌ریزی شده، سیستم گردش خون یا عروق لنفاوی، سازگاری با سیستم ایمنی، مقاومت در برابر داروها و متاباستاز قادر هستند تا از درمان‌های معمول دارویی و یا جراحی رهایی یافته و این پروتکل‌ها را با شکست مواجه سازند (۱۸). هیالورونیک اسید (HA) که یک گلیکوز‌آمینوگلیکان غیرسولفاته و جزء اصلی ماتریکس خارج‌سلولی است توسط سلول‌های توموری متعدد به‌ویژه سلول‌های شروع‌کننده تومور بیش از حد بیان می‌شود (۱۹). نانوحامل‌های مغناطیسی بر پایه HA به‌دلیل هدف‌گیری فعال سلول‌های تومور، کاهش بیان انکوژن‌های دخیل در

برای نانوذرات، بهترین مقدار زتا کوچکتر از ۲۵- و بزرگتر از ۲۵+ است. این مقدار پتانسیل نیروی دافعه الکترواستاتیک لازم بین نانوذرات را تأمین می‌کند و منجر به پایداری آن‌ها می‌شود (۲۷). با توجه به این نکته، مقدار mV $74/3$ - پتانسیل زتا در ترکیب سنتزشده از پایداری مناسبی برخوردار بود. اولین یافته پژوهش، سمیت نانوذرات $Fe_3O_4@HA$ و Fe_3O_4 در غلظت $1500 \mu\text{g/mL}$ بود. نتیجه این پژوهش نشان داد که $Fe_3O_4@HA$ ($IC_{50} = 1180 \mu\text{g/mL}$) فعالیت ضدتکثیری مناسب‌تری در مهار رشد سلول‌های $Aspc-1$ سرطان لوزالمعده داشت (شکل ۷). با توجه به معنادار بودن آزمون $Fe_3O_4@HA$ برای ANOVA، افزایش سمیت این ماده و کاهش زندگمانی سلول‌های سرطانی تیمارشده تأیید شد. این یافته با نتایج Luo و همکارانش سازگار بود (۱۱). اثر سیتوتوکسیسیتّه این ماده بر رشد و زندگمانی سلول‌های $HEK-293$ در غلظت بالاتری ($CC_{50} = 1344 \mu\text{g/mL}$) نسبت $Fe_3O_4@HA$ به سلول‌های سرطانی بود. اگرچه سمیت Fe_3O_4 در سلول‌های نرمال پایین‌تر بود، اما این کاهش معنی‌دار نبود ($p > 0.05$). این درحالی بود که سمیت $Fe_3O_4@HA$ بیشتر نتیجه معنی‌دار بود ($p < 0.05$). نتایج این تست نشان می‌دهد که عامل‌دار نمودن نانوذرات اکسید آهن با هیالورونیک اسید به طور مؤثرتری نسبت به Fe_3O_4 می‌تواند باعث مهار تکثیر سلول‌های سرطان لوزالمعده شود. درواقع Fe_3O_4 وقتی با هیالورونیک اسید عامل‌دار می‌شود، سمیت سرطانی لوسمی خون و MCF سرطان سینه بررسی کرده بودند مطابقت داشت. Yu و همکاران، غیرسمی بودن هیالورونیک اسید را در سلول‌های نرمال نسبت به سلول‌های سرطانی گزارش کرده بودند (۲۹). در یک مقاله مروری نیز $Fe_3O_4@HA$ منتشر شده غیرسمی بودن $Sudha$ & $Rose$ در نوسان $UV-Visible$ نشان‌دهنده تشکیل نانوذرات اکسید آهن است و با نتایج $Abdallah$ و همکاران که تشکیل نانوذرات کروی را در دامنه $519-290$ نانومتر گزارش نموده بودند مطابقت دارد (۲۶).

مقدار پتانسیل زتا در محلول‌های کلوویدی با کاربردهای پژوهشی و پایداری مناسب بین $+100 \text{ mV}$ تا -100 است و

هدف اول) مطالعه مهار سلول‌های سرطانی $Aspc-1$ و نرمال توسط نانوذرات اکسید آهن کوژنوجه‌شده با هیالورونیک اسید بود و **هدف دوم)** بررسی میزان بیان‌ژن $CD44$ بعد از تیمار سلول‌ها با این ماده بود. در این پژوهش همان‌طور که در شمایی کلی سنتز در شکل ۱ نشان داده شده است، محلول‌های یکنواخت از هیالورونیک اسید و نانوذرات Fe_3O_4 به طور همزمان سنتز و کوژنوجه شدند. درخصوص پیک‌های به دست آمده از تست FTIR وجود باندهای 3385 و 3361 cm^{-1} که بیانگر ارتعاش متقارن $N-H$ مربوط به گروه NH_2 بر روی هیالورونیک اسید است با داده‌های سلیمانی و همکاران آن مطابقت داشت. این محققان دامنه ارتعاش این گروه‌ها را بر روی هیالورونیک اسید در محدوده 3100 تا 3600 cm^{-1} گزارش کرده بودند (۲۲). پیک‌های تأییدی برای گروه‌های $O-H$, $C=O$, $C-C$ و $C=H$ در اسید هیالورونیک محدوده $2500-3300 \text{ cm}^{-1}$ تعریف شده است که موید پیک 3059 این تحقیق است، ارتعاش 1617 cm^{-1} که در محدوده باندهای $1620-1610 \text{ cm}^{-1}$ قرار دارد، وجود پیوندهای قوی آلکانی $C-C$ را در هیالورونیک اسید تایید می‌کند. همچنین 1749 cm^{-1} در محدوده ارتعاشی $1735-1750 \text{ cm}^{-1}$ قرار دارد و بیانگر پیوندهای قوی بر روی گروه‌های آلدئیدی $C=O$ در مولکول هیالورونیک اسید است. پیک 1452 cm^{-1} که در سایت $LibreTextsExperts$ در محدوده $1450-1465 \text{ cm}^{-1}$ قرار دارد مؤید گروه‌های آلکانی $C-C$ بر روی هیالورونیک است (۲۳). همچنین پیک‌های 421 و 575 cm^{-1} مربوط به باند $O-Fe-O$ بود که با نتایج $Fekri aval$ و همکاران آن سازگار بود. این محققان برای این باند، ارتعاش 440 , 440 , 580 و 620 cm^{-1} را گزارش کرده بودند (۲۴). آنالیز داده‌های SEM بیانگر یکنواخت بودن اندازه نانوذرات سنتزشده بود و از آنجایی که برای کاربردهای زیست‌پزشکی، نانوذرات اکسید آهن با اندازه کمتر از 100 nm نانومتر بهترین کیفیت را دارا می‌باشند (۲۵) اندازه $92-67 \text{ nm}$ نانومتر به دست آمده در این پژوهش در محدوده مناسبی قرار داشت. مقدار پیک $UV-Visible$ در نقطعه 389 nm نانومتر نشان‌دهنده تشکیل نانوذرات اکسید آهن است و با نتایج $Abdallah$ و همکاران که تشکیل نانوذرات کروی را در دامنه $519-290$ نانومتر گزارش نموده بودند مطابقت دارد (۲۶).

عمل می‌کند. همچنین کاهش بیان‌ژن‌های *CD44* در سلول‌های سرطانی را توسط این نانوکمپلکس می‌توان با مهار رشد این سلول‌ها مرتبط دانست. با توجه به برخی محدودیت‌ها، فرایندهای مهار این کمپلکس بر روی سلول‌های یادشده و نیز بیان سایر ژن‌ها بررسی نشد. بنابراین در پژوهش‌های آتی پیشنهاد می‌شود تا پژوهشگران دیگر نسبت به آن اقدام نمایند.

۶- ملاحظات اخلاقی

ندارد

۷- تشکر و قدردانی

از جناب آقای رضا کاظمی درسنگی بهدلیل همکاری در سنتر نانوذرات و کونزوگه‌نمون آن‌ها با هیالورونیک اسید تشکر و قدردانی می‌گردد.

۸- تعارض منافع

هیچ‌گونه تعارض منافعی بین نویسندگان وجود ندارد.

لوزالمعده می‌تواند مهار رشد سلول‌های بدخیم را کنترل کند $\text{Fe}_3\text{O}_4@\text{HA}$ Aspc-1 تحت‌تیمار نانوکمپلکس قرار گرفتند. نتایج qRT-PCR نشان داد که در سلول‌های تیمارشده نسبت به گروه کنترل (تیمارنشده)، میزان بیان IC_{50} درصد کاهش یافته اگرچه معنی‌دار نبود. با توجه به این کمپلکس که اثرگذاری آن را در مقابل سلول‌های سرطانی تأیید نمود کاهش بیان‌ژن *CD44* را می‌توان به کونزوگه‌نمودن نانوذرات Fe_3O_4 با هیالورونیک اسید نسبت داد. Desai و همکاران هدف قرار دادن ژن‌های *CD44* با بیان Ortiz و همکاران نیز گزارش شده است (۳۲). با توجه به این داده‌ها و نقش رسانشی دارویی نانوذرات اکسید آهن (۲۰ و ۳۳) کاهش بیان این ژن را می‌توان به کمپلکس نانوذرات اکسید آهن و هیالورونیک اسید نسبت داد.

۵- نتیجه‌گیری

در این پژوهش، هدف اصلی مطالعه نقش مهاری $\text{Fe}_3\text{O}_4@\text{HA}$ بر روی رده سلولی ASP-1 سرطان لوزالمعده بود. نتایج نشان دادند که این کمپلکس در مهار رشد سلول‌های سرطانی نسبت به سلول‌های نرمال مؤثرتر

۶- منابع

1. Mizrahi JD, Surana R, Valle JW, Shroff RT. Pancreatic cancer. *The Lancet*. 2020;395(10242):2008-20.
2. Miller KD, Fidler-Benaoudia M, Keegan TH, Hipp HS, Jemal A, Siegel RL. Cancer statistics for adolescents and young adults, 2020. *J CA*. 2020;70(6):443-59.
3. Bray F, Ferlay J, Soerjomataram I, Siegel RL, Torre LA, Jemal A. Global cancer statistics 2018: GLOBOCAN estimates of incidence and mortality worldwide for 36 cancers in 185 countries. *J CA*. 2018;68(6):394-424.
4. Pourhoseingholi MA, Ashtari S, Hajizadeh N, Fazeli Z, Zali MR. Systematic review of pancreatic cancer epidemiology in Asia-Pacific Region: major patterns in Globacon 2012. *GHBB*. 2017;۲۴۵:(۴)۱۰;
5. Guo J, Xie K, S. Z. Molecular Biomarkers of Pancreatic Intraepithelial Neoplasia and Their Implications in Early Diagnosis and Therapeutic Intervention of Pancreatic Cancer. *Int J Biol Sci*. 2016;28(12(3)):292-301.
6. Chen C, Zhao S, Karnad A, Freeman JW. The biology and role of CD44 in cancer progression: therapeutic implications. *J H&O*. 2018;11:1-23.
7. Gzil A, Zarębska I, Bursiewicz W, Antosik P, Grzanka D, Szylberg Ł. Markers of pancreatic cancer stem cells and their clinical and therapeutic implications. *J MBR*. 2019;46:6629-45.
8. Rao NV, Yoon HY, Han HS, Ko H, Son S, Lee M, et al. Recent developments in hyaluronic acid-based nanomedicine for targeted cancer treatment. *J EODD*. 2016;13(2):239-52.
9. Li J, He Y, Sun W, Luo Y, Cai H, Pan Y, et al. Hyaluronic acid-modified hydrothermally synthesized iron oxide nanoparticles for targeted tumor MR imaging. *J B*. 2014;35(11):3666-77.
10. Wang Y, Ma S, Liu X, Wei Y ,Xu H, Liang Z, et al. Hyaluronic acid mediated Fe3O4 nanocubes reversing the EMT through targeted cancer stem cell. *Colloids and Surfaces. J B*. 2023;222:113071.
11. Zhang W, Zhang Z, Lou S, Chang Z, Wen B, Zhang T. Hyaluronic Acid–Stabilized Fe3O4 Nanoparticles for Promoting In Vivo Magnetic Resonance Imaging of Tumors. *J FP*. 2022;13.
12. Li L, Gao F, Jiang W, Wu X, Cai Y, Tang J, Gao X, Gao F. Folic acid-conjugated superparamagnetic iron oxide nanoparticles for tumor-targeting MR imaging. *J DD*. 2016 Jun 12;23(5):1726-33.
13. Hajighasemi F, Tajic S. Assessment of cytotoxicity of dimethyl sulfoxide in human hematopoietic tumor cell lines. *IJBC*. 2017 Jun 10;9(2):48-53.
14. Tullii G, Giona F, Lodola F, Bonfadini S, Bossio C, Varo S, Desii A, Criante L, Sala C, Pasini M, Verpelli C. High-aspect-ratio semiconducting polymer pillars for 3D cell cultures. *ACSAM&I*. 2019 Jul 29;11(31):28125-37.
15. Lin J-T, Chang T-H, Chang C-S, Wang W-H, Su B-W, Lee K-D, et al. Prognostic value of pretreatment CD44 mRNA in peripheral blood of patients with locally advanced head and neck cancer. *J O*. 2010;46(5):e29-e33.
16. Habibi A, Sadat Shandiz SA, Salehzadeh A, Moradi-Shoeli Z. Novel pyridinecarboxaldehyde thiosemicarbazone conjugated magnetite nanoparticulates (MNPs) promote apoptosis in human lung cancer A549 cells. *JBIC*. 2020;25:13-22.
17. Balachandran VP, Beatty GL, Dougan SK. Broadening the impact of immunotherapy to pancreatic cancer: challenges and opportunities. *J G*. 2019;156(7):2056-72.
18. Pecorino L. Molecular biology of cancer: mechanisms, targets, and therapeutics: Oxford university press; 2021.
19. Kim JH, Moon MJ, Kim DY, Heo SH, Jeong YY. Hyaluronic acid-based nanomaterials for cancer therapy. *J P*. 2018;10(10):1133.
20. Fang Z, Li X, Xu Z, Du F ,Wang W, Shi R, et al. Hyaluronic acid-modified mesoporous silica-coated superparamagnetic Fe3O4 nanoparticles for targeted drug delivery. *IJN*. 2019;5785-97
21. Luo Y, Li Y, Li J, Fu C, Yu X, Wu L. Hyaluronic acid-mediated multifunctional iron oxide-based MRI nanoprobe for dynamic monitoring of pancreatic cancer. *J RSCA*. 2019;9(19):10486-93.

22. Soleymani M, Velashjerdi M, Shaterabadi Z, Barati A. One-pot preparation of hyaluronic acid-coated iron oxide nanoparticles for magnetic hyperthermia therapy and targeting CD44-overexpressing cancer cells. *J CP.* 2020;237:116130.
23. LibreTextsExperts. Infrared Spectroscopy Absorption Table LibreTexts; 2020 [Available from: <https://status.libretexts.org>.
24. Fekri Aval S, Akbarzadeh A, Yamchi MR, Zarghami F, Nejati-Koshki K, Zarghami N. Gene silencing effect of SiRNA-magnetic modified with biodegradable copolymer nanoparticles on hTERT gene expression in lung cancer cell line. *Artificial cells, nanomedicine, and biotechnology.* 2016 Jan 2;44(1):188-93.
25. Xiang H, Ren G, Zhong Y, Yang X, Xu D, Zhang Z, et al. Characterization and synthesis of Fe₃O₄@ C nanoparticles by in-situ solid-phase method. *J MRE.* 2021;8(2):025016.
26. Abdallah RM, Al-Haddad RM, editors. Optical and Morphology Properties of the Magnetite (Fe₃O₄) Nanoparticles Prepared by Green Method. *J P. Conference Series;* 2021: IOP Publishing.
27. Clogston JD, Patri AK. Zeta potential measurement. Characterization of nanoparticles intended for drug delivery: Springer; 2011. p. 63-70.
28. Liang J, Yang X, Liu D, Cong M, Song Y, Bai S. Lipid/hyaluronic acid-Coated Doxorubicin-Fe₃O₄ as a dual-targeting nanoparticle for enhanced cancer therapy. *AAPS PharmSciTech.* 2020 Aug;21:1-9.
29. Yu T, Li Y, Gu X, Li Q. Development of a hyaluronic acid-based nanocarrier incorporating doxorubicin and cisplatin as a pH-sensitive and CD44-targeted anti-breast cancer drug delivery system. *J FP.* 2020;11:532457.
30. Sudha PN, Rose MH. Beneficial effects of hyaluronic acid. *J AFNR.* 2014;72:137-76.
31. Desai P, Ann D, Wang J, Prabhu S. Pancreatic cancer: Recent advances in nanoformulation-based therapies. *J CRTDCS.* 2019;36.(1)
32. Ortíz R, Quiñonero F, García-Pinel B, Fuel M, Mesas C, Cabeza L, et al. Nanomedicine to overcome multidrug resistance mechanisms in colon and pancreatic cancer: recent progress. *J C.* 2021;13(9):2058.
33. Yew YP, Shameli K, Miyake M, Khairudin NBBA, Mohamad SEB, Naiki T, et al. Green biosynthesis of superparamagnetic magnetite Fe₃O₄ nanoparticles and biomedical applications in targeted anticancer drug delivery system: A review. *AJC.* 2020;13(1):2287-308.